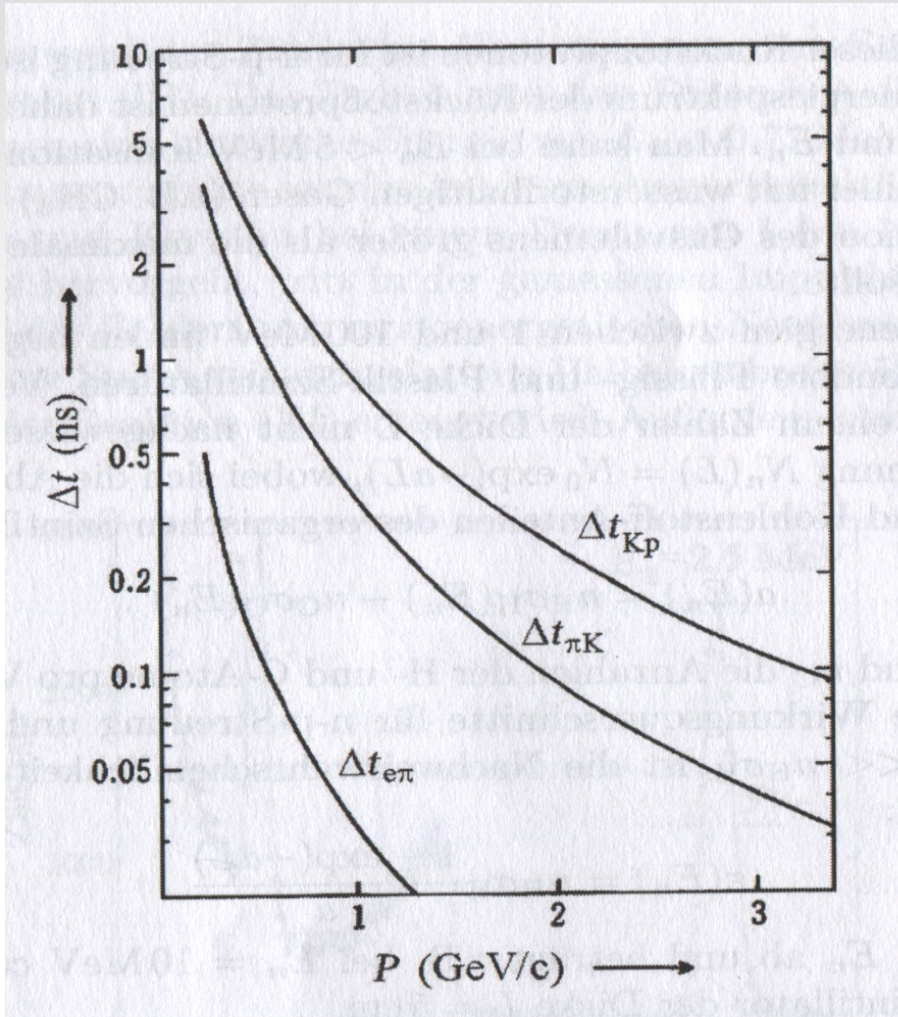
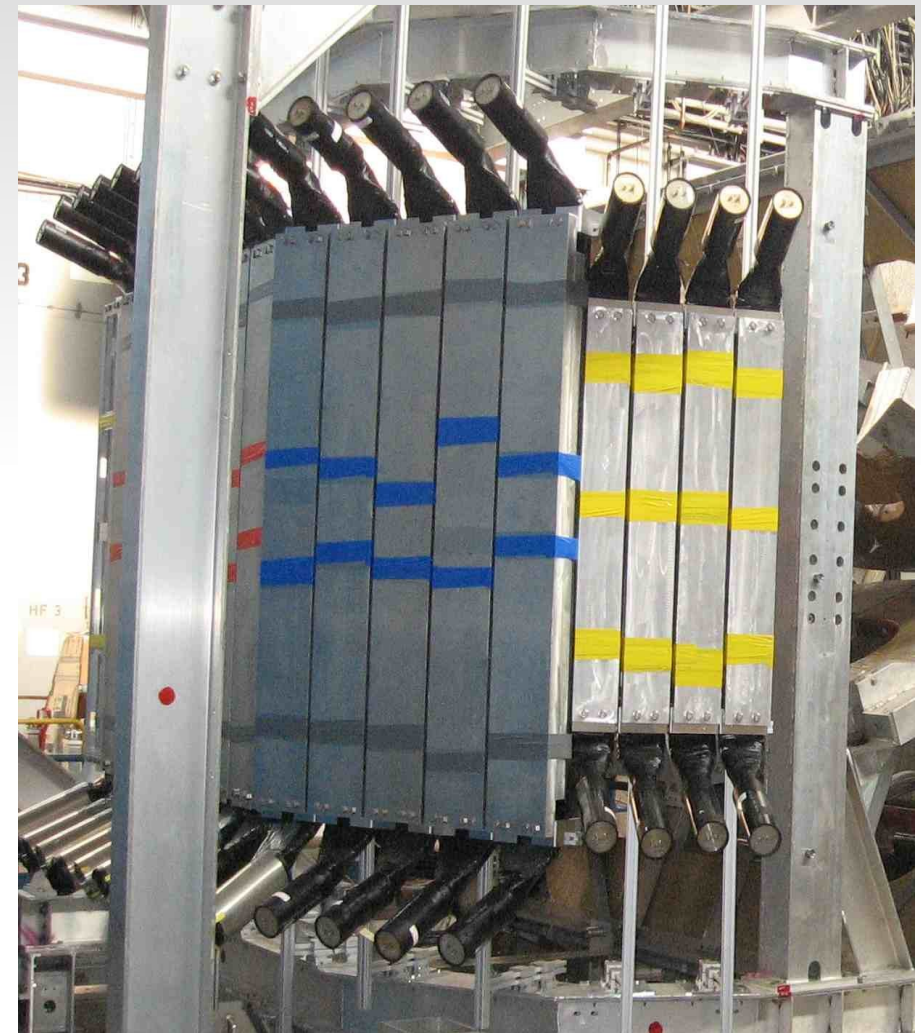


Fig 7.1 Flugzeitmesung



$L = 1\text{m}$



ToF, Olympus-Experiment, DESY

Fig 7.2 Cherenkov-Effekt

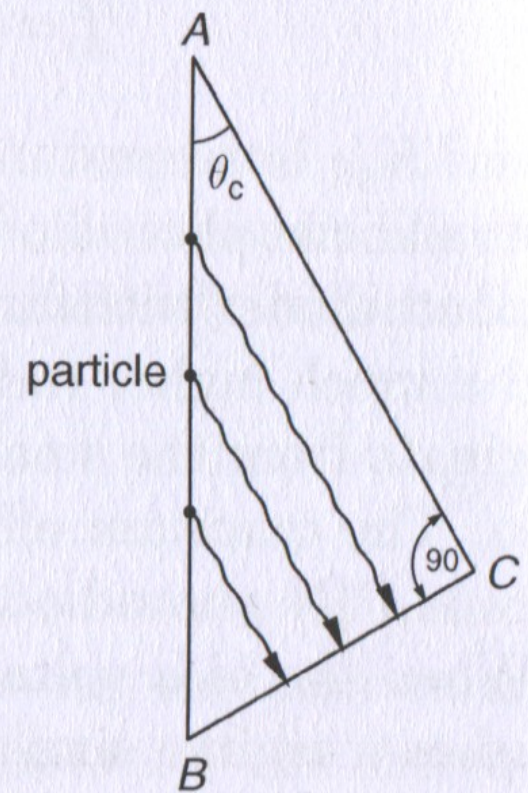
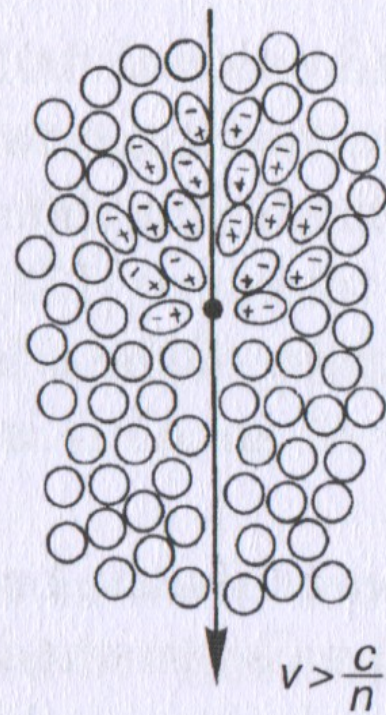
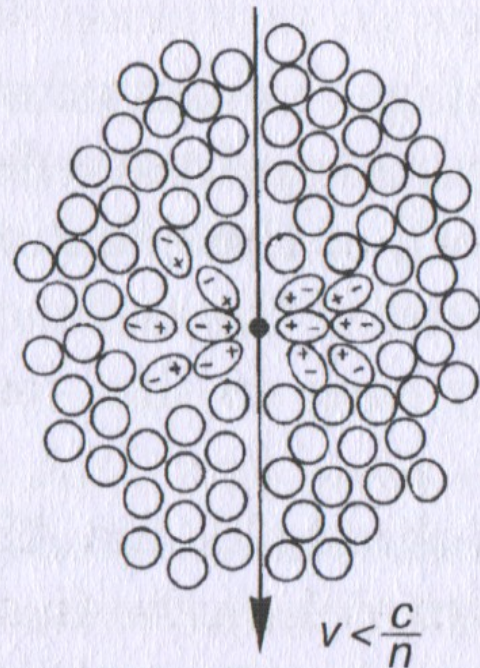


Fig 7.3 Cherenkov-Winkel

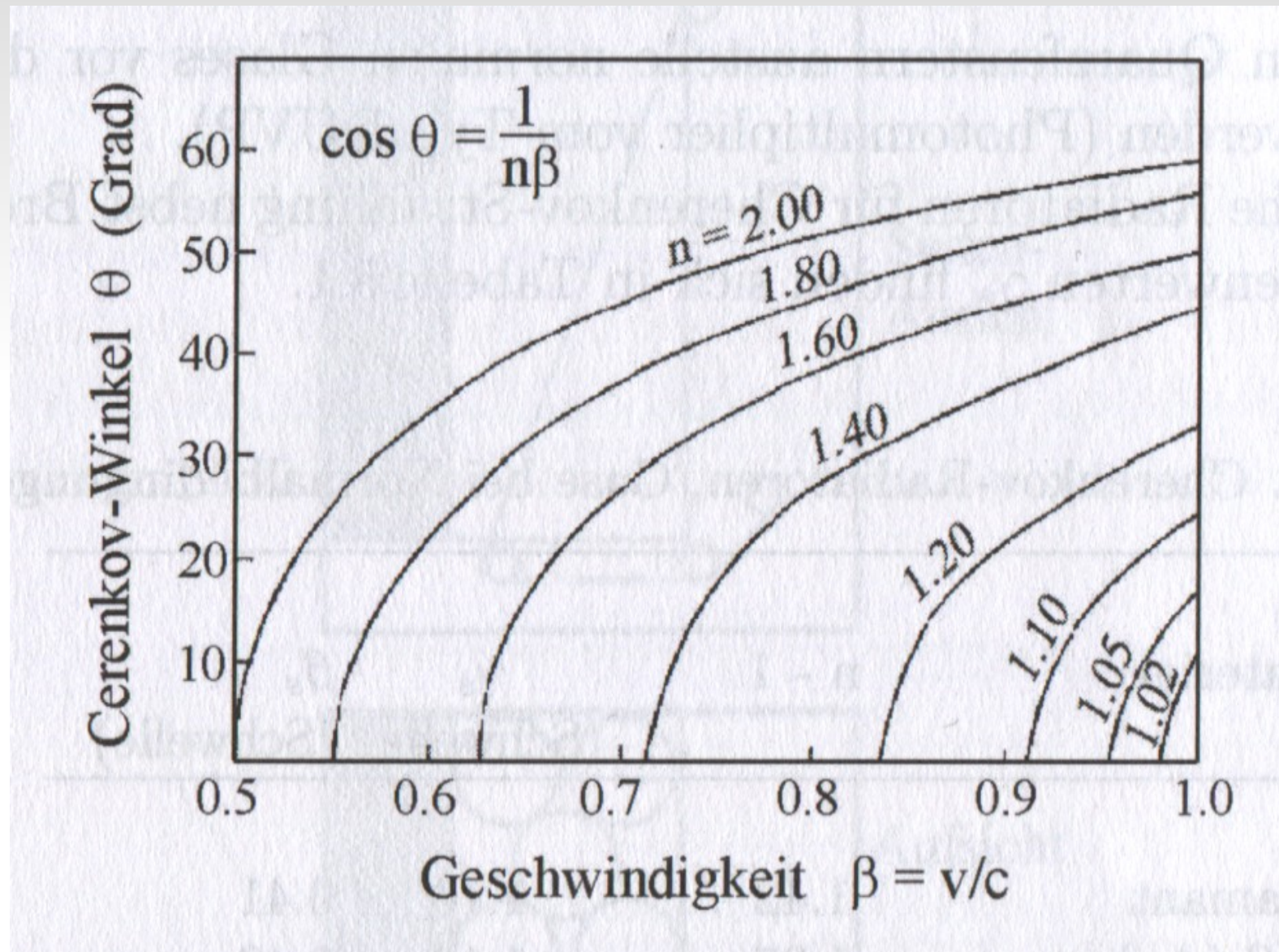


Fig 7.4 Cherenkov-Photonen

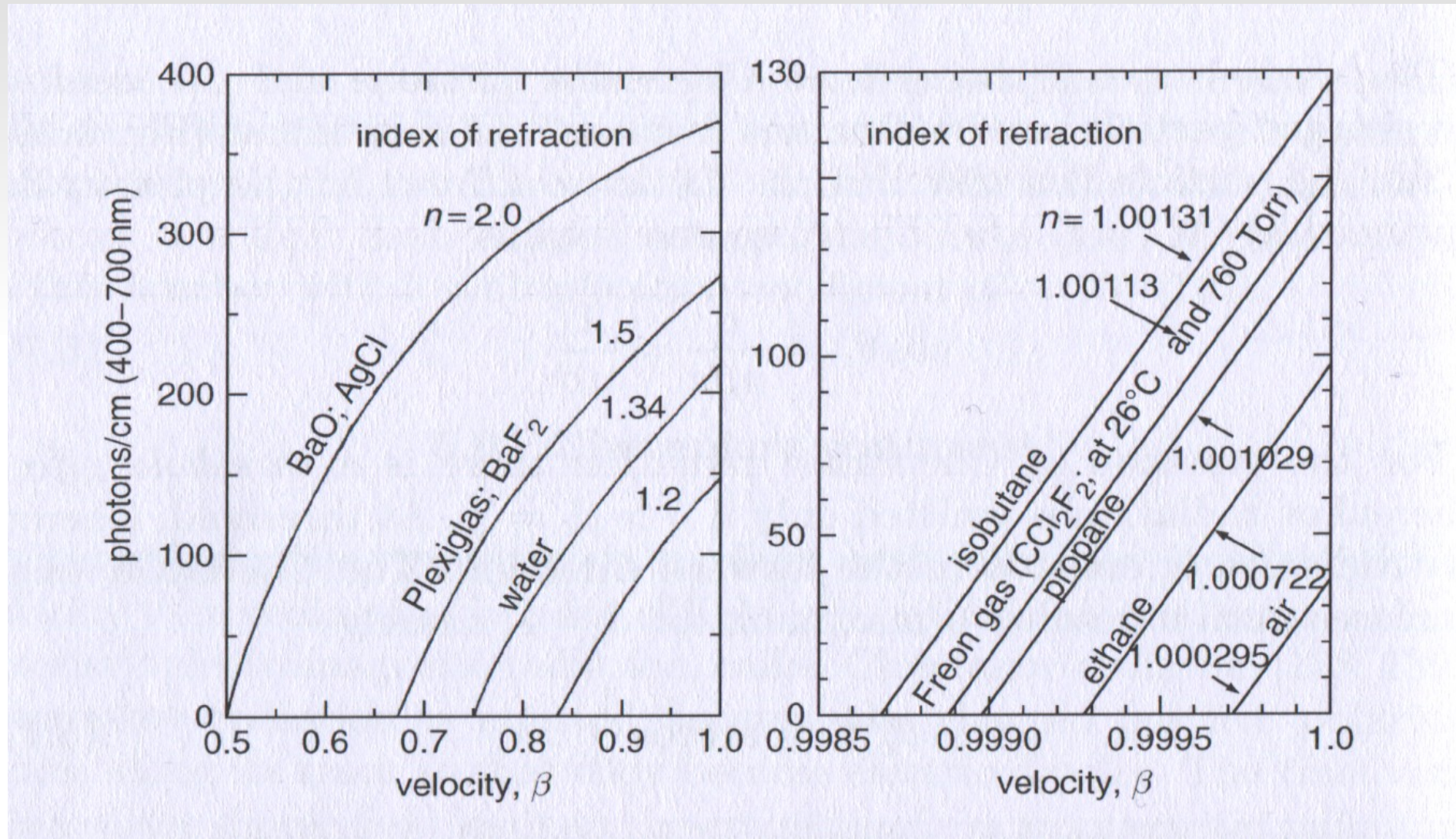


Fig 7.5 Cherenkov-Radiatoren

Material	$n - 1$	β threshold	γ threshold
Solid sodium	3.22	0.24	1.029
Diamond	1.42	0.41	1.10
Flint glass (SFS1)	0.92	0.52	1.17
Lead fluoride	0.80	0.55	1.20
Aluminium oxide	0.76	0.57	1.22
Lead glass	0.67	0.60	1.25
Polystyrene	0.60	0.63	1.28
Plexiglas (Lucite)	0.48	0.66	1.33
Borosilicate glass (Pyrex)	0.47	0.68	1.36
Lithium fluoride	0.39	0.72	1.44
Water	0.33	0.75	1.52
Liquid nitrogen	0.205	0.83	1.79
Silica aerogel	0.007–0.13	0.993–0.884	8.46–2.13
Pentane (STP)	$1.7 \cdot 10^{-3}$	0.9983	17.2
CO_2 (STP)	$4.3 \cdot 10^{-4}$	0.9996	34.1
Air (STP)	$2.93 \cdot 10^{-4}$	0.9997	41.2
H_2 (STP)	$1.4 \cdot 10^{-4}$	0.99986	59.8
He (STP)	$3.3 \cdot 10^{-5}$	0.99997	123



Fig 7.6 Schwellenzähler

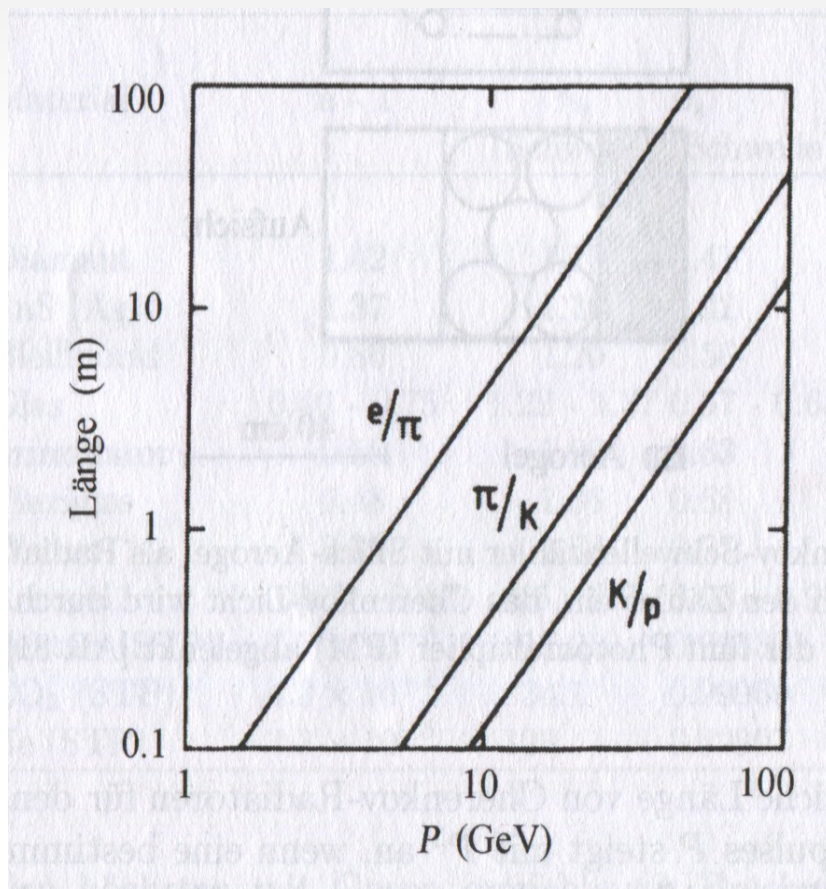


Tabelle 5.2. Eine Auswahl von Cherenkov-Schwellenzählern [LE 81c]

Zähler	Brechungs- index n	Radiator Material	Länge des Radiators (cm)	Länge des Zählers (cm)	Ausbeute (Photoelektronen)
A	1.022	Aerogel	20	50-100	5-6
B	1.006	?(Aerogel)	?	50-100	?
C	1.00177	Neopentan	30	50	$\simeq 10$
D	1.00049	$(N_2O - CO_2)$ oder Fr 14	100	$\simeq 120$	$\simeq 10$
E	1.000135	(Ar-Ne) oder H_2	185	$\simeq 200$	$\simeq 5$

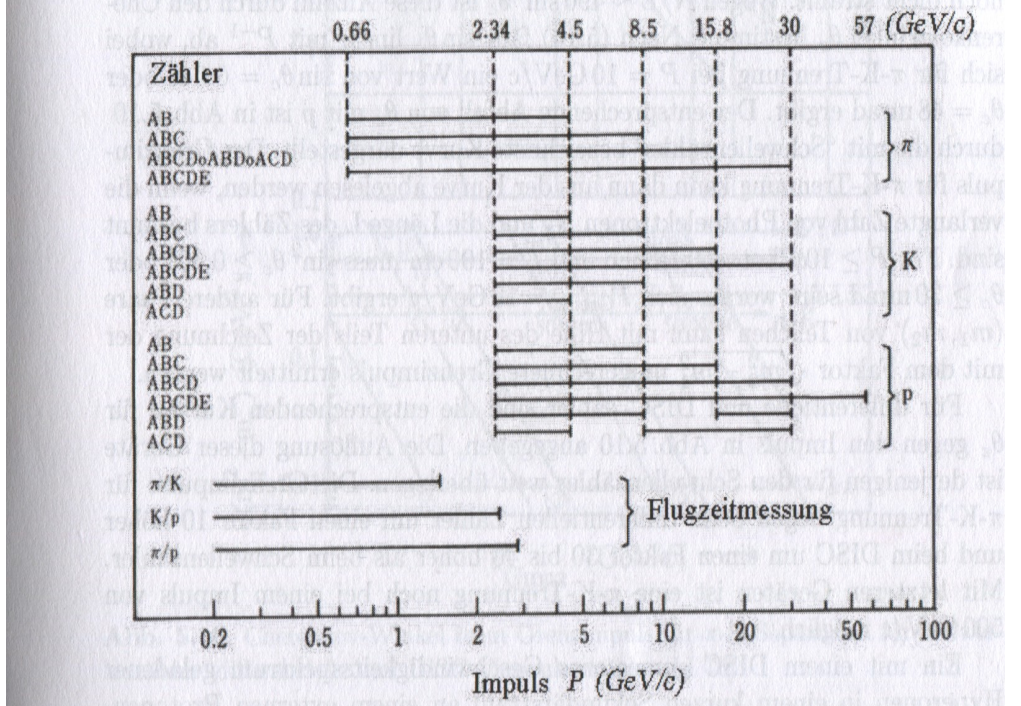
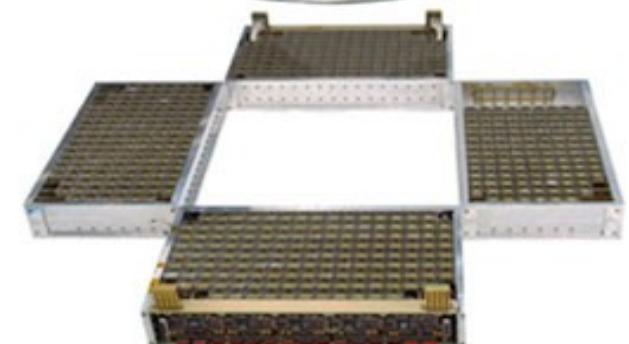
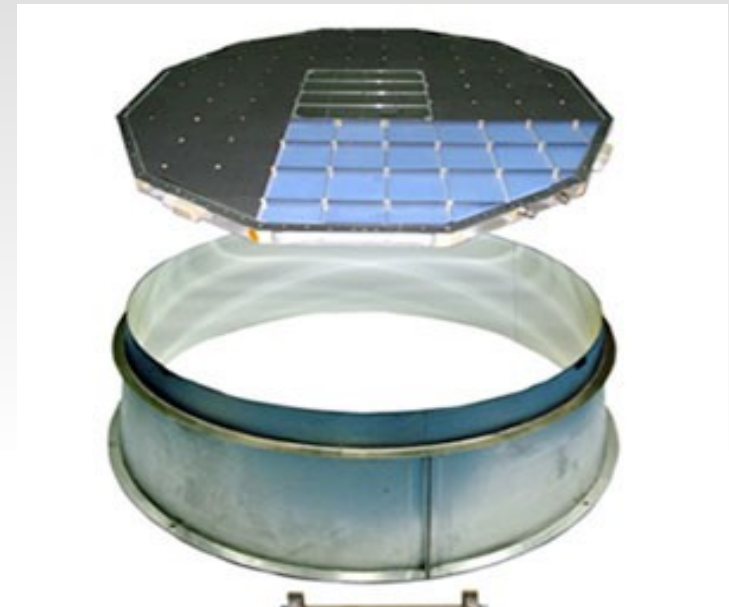
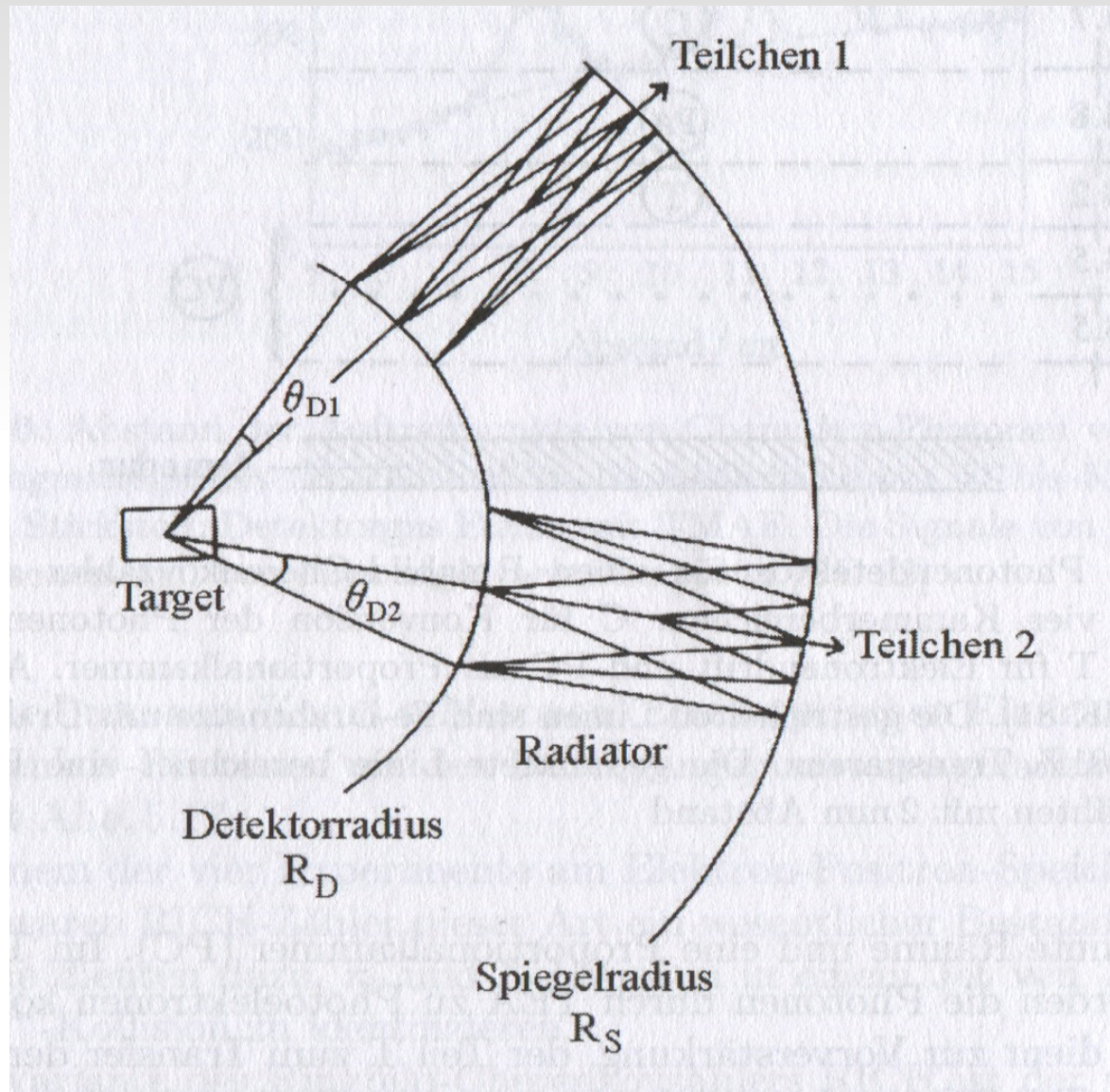


Fig 7.7 RICH-Detektor



RICH @AMS-2

Fig 7.8 Hera-B RICH

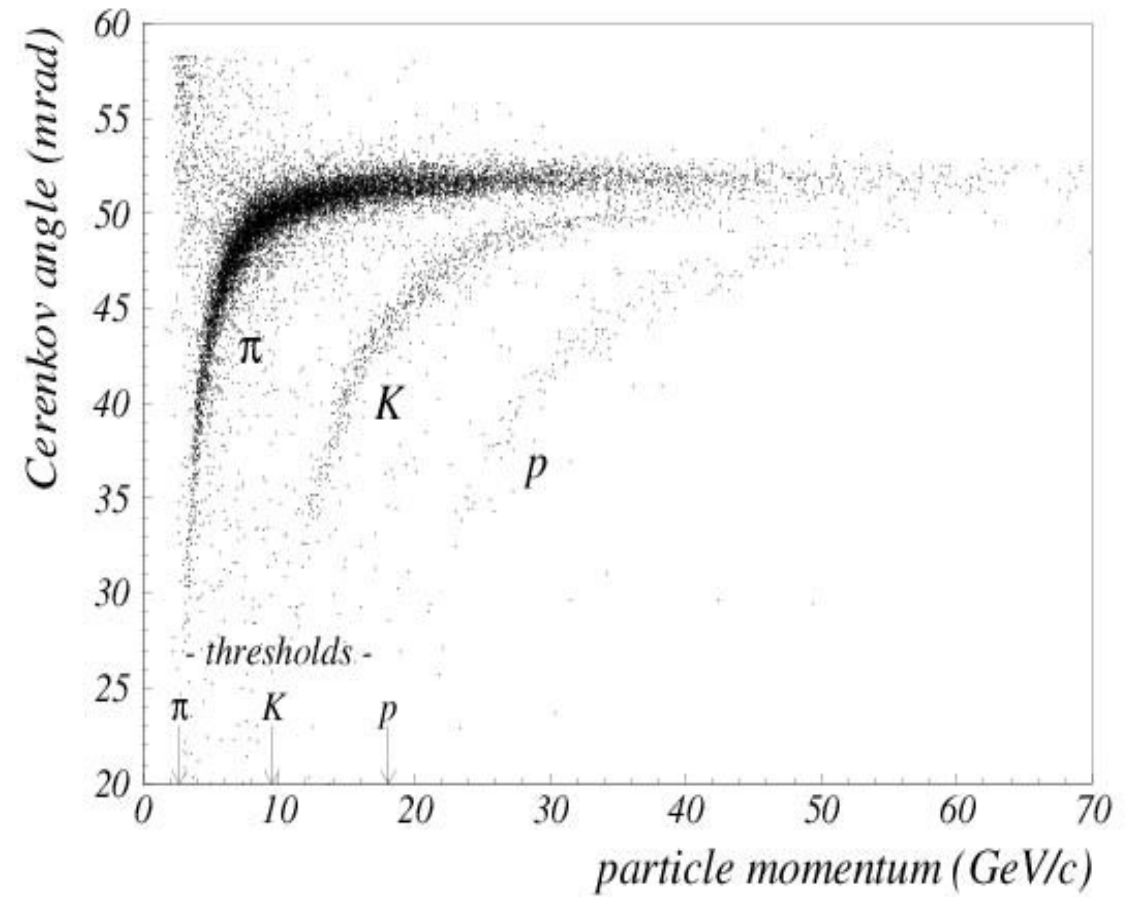
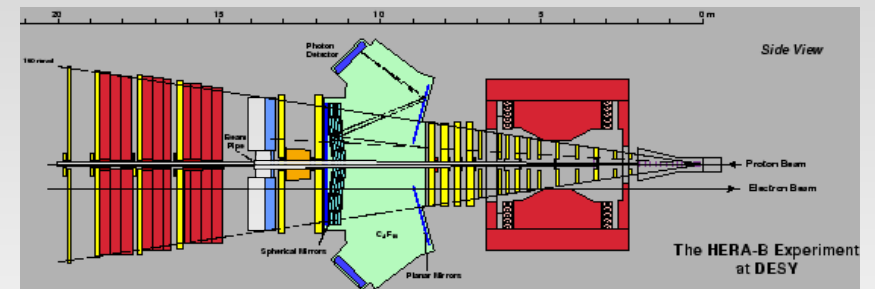
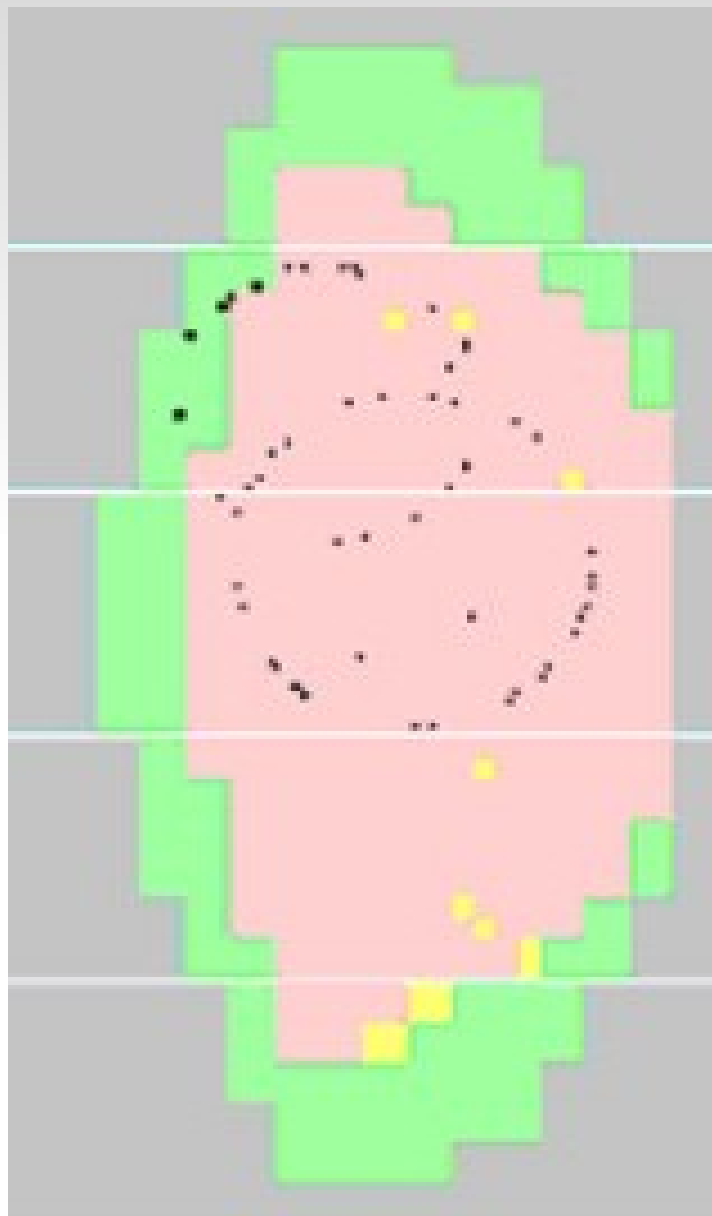


Fig 7.9 DIRC-Detektor

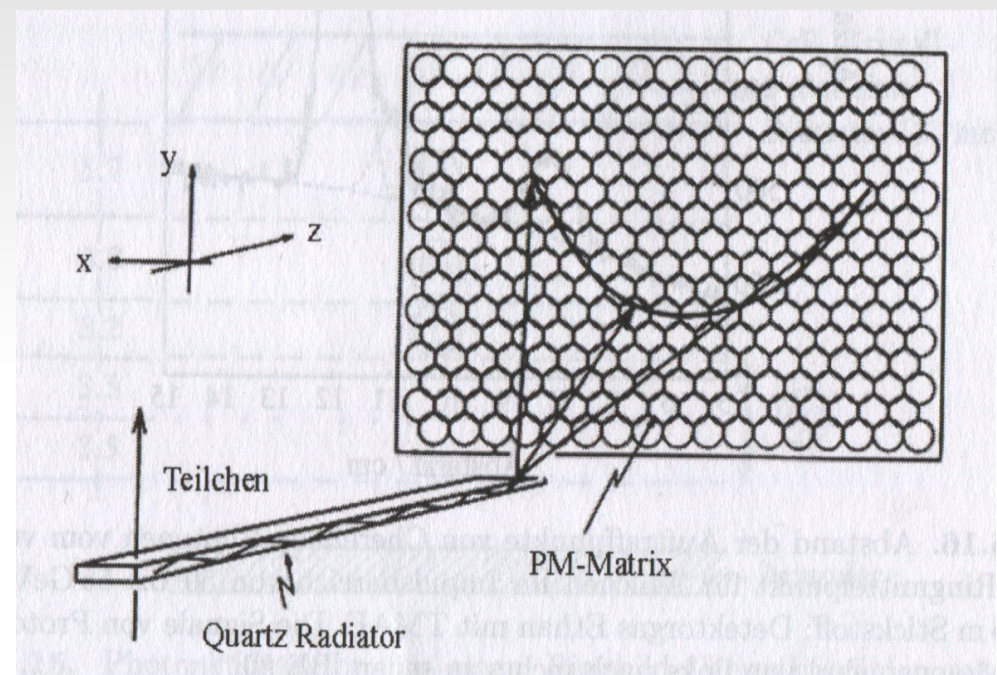
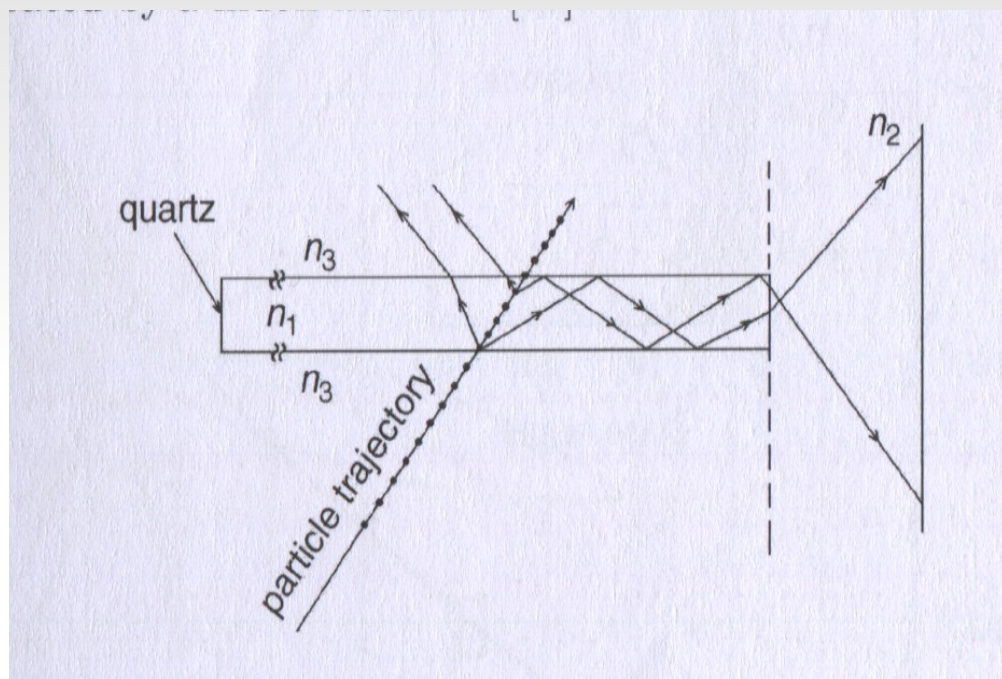


Fig 7.10 BaBar DIRC

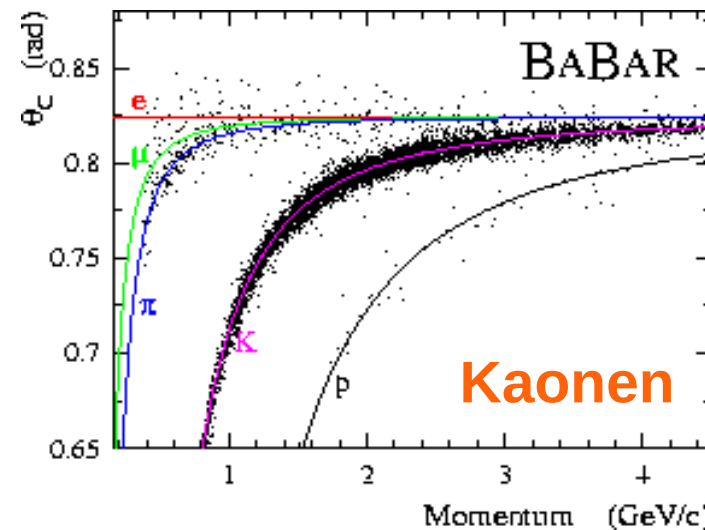
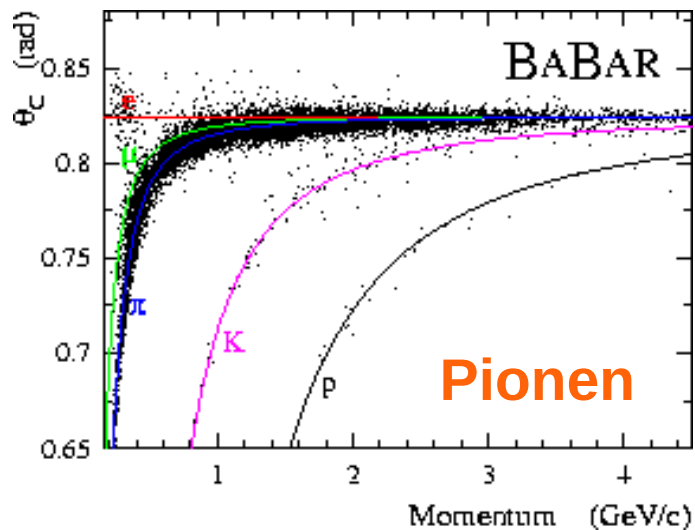
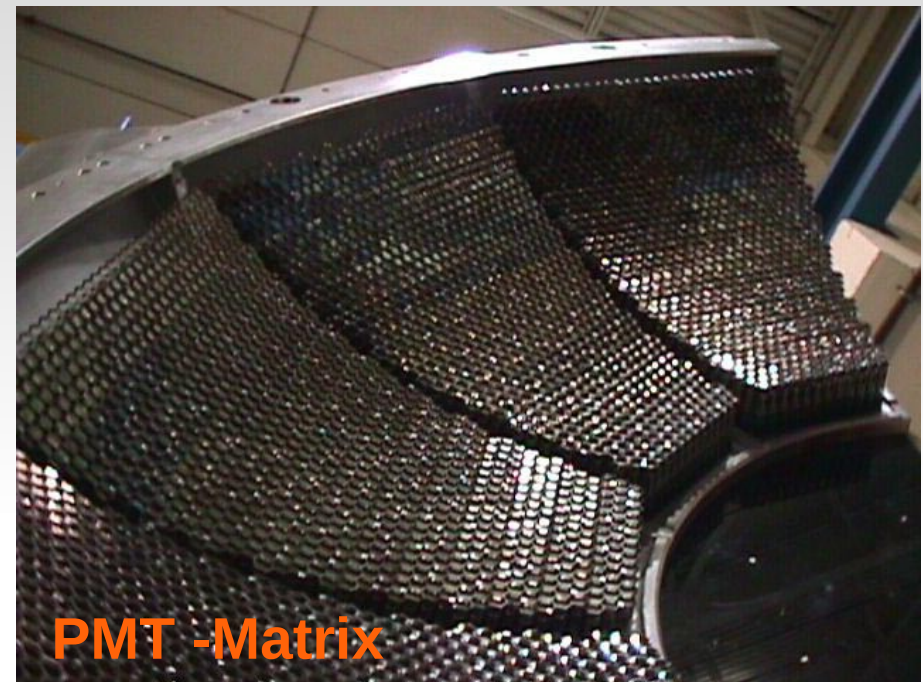
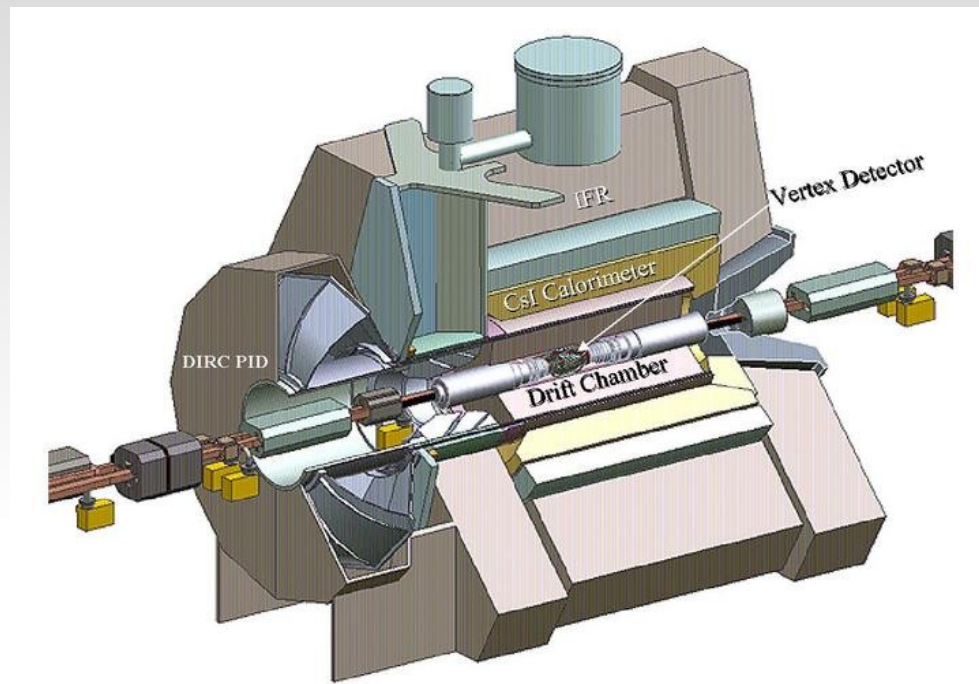
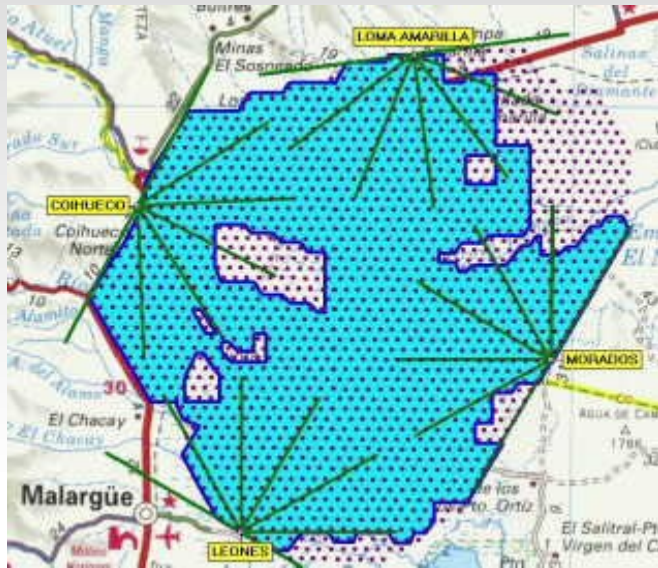


Fig 7.11 Auger-Observatorium



Mendoza, Argentien
1600 Kalorimetertanks
(Wasser),
Abstand 1,5km,
4 Fly-Eye-Detektoren,
Meßbereich 10^{17} - 10^{20} eV

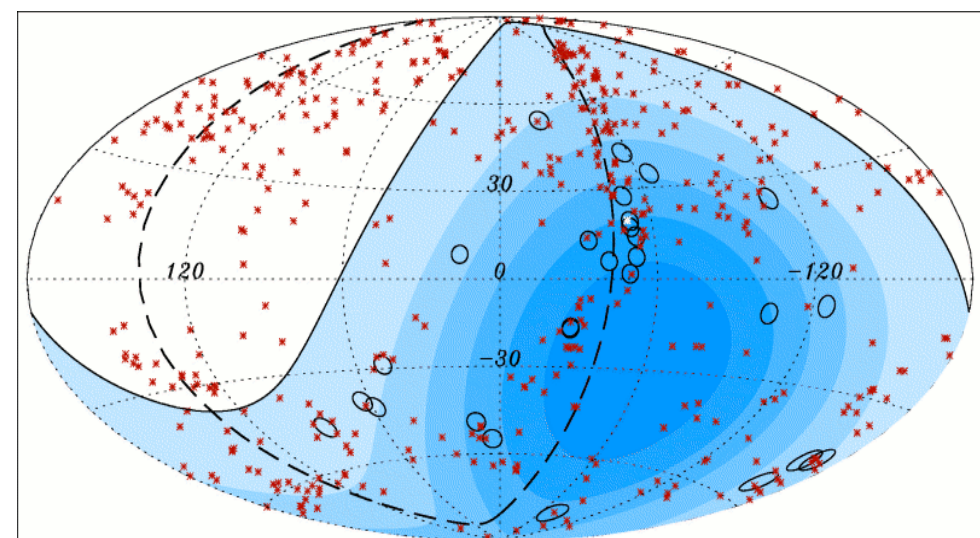
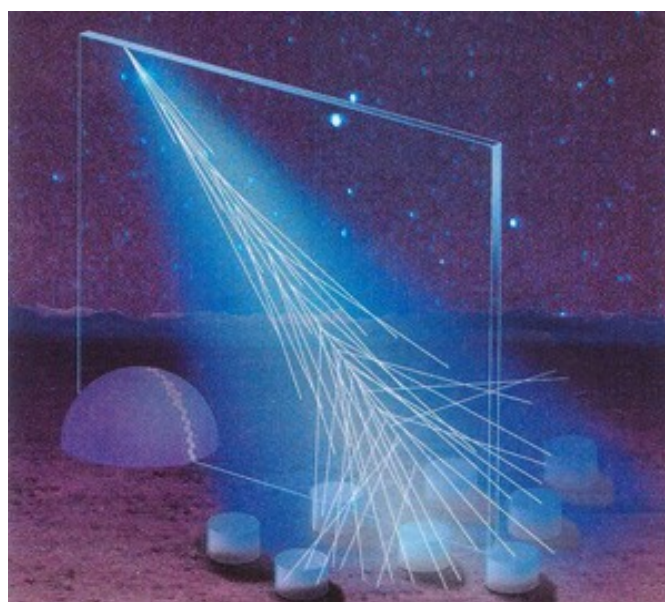


Fig 7.12 H.E.S.S.-Teleskop

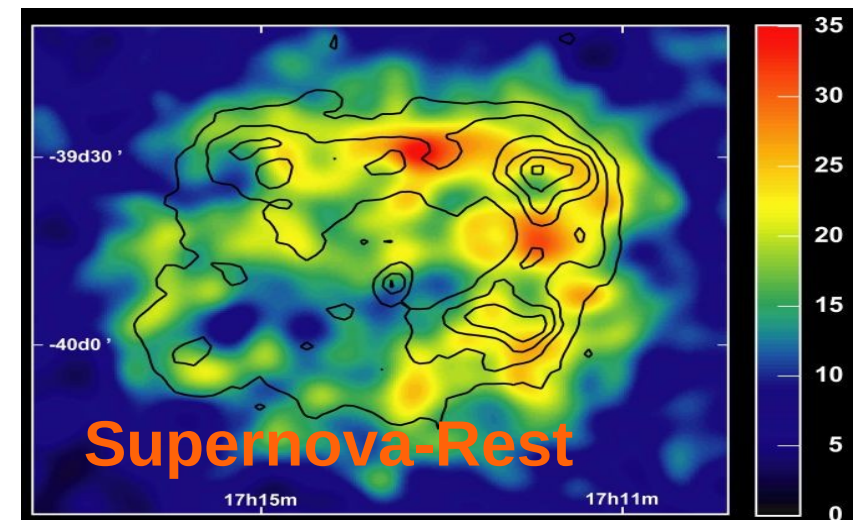
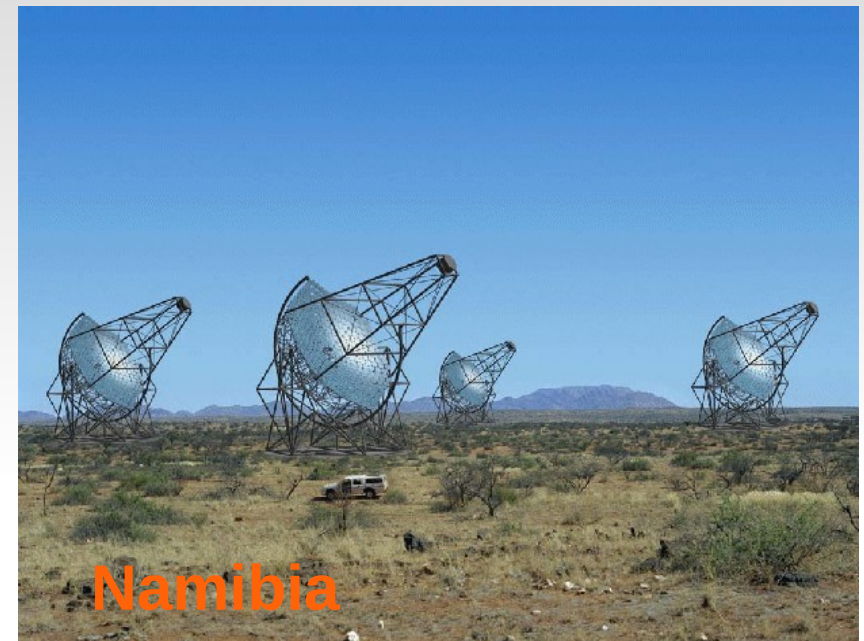
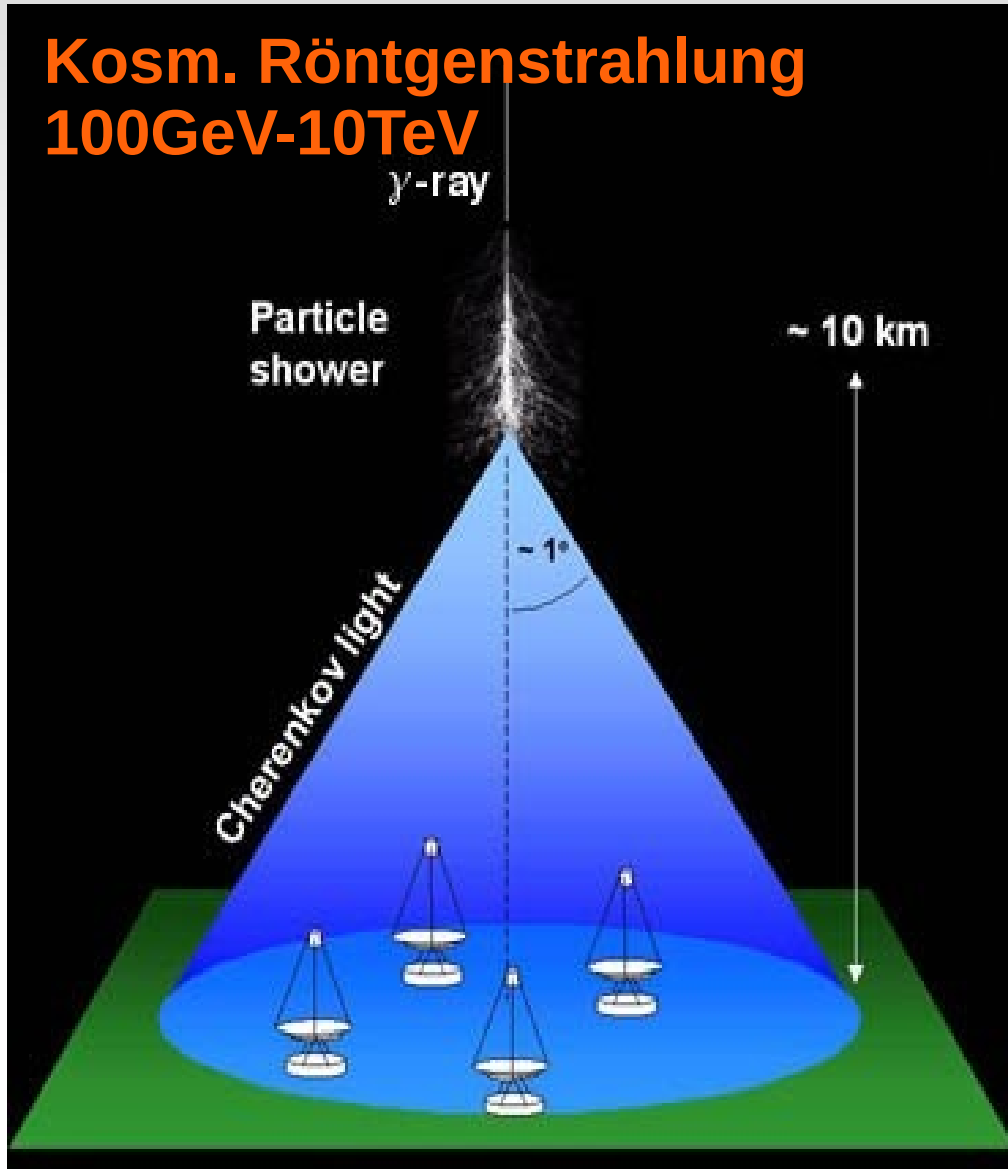


Fig 7.13 Neutrino-Nachweis



SNO @ Sudbury Mine

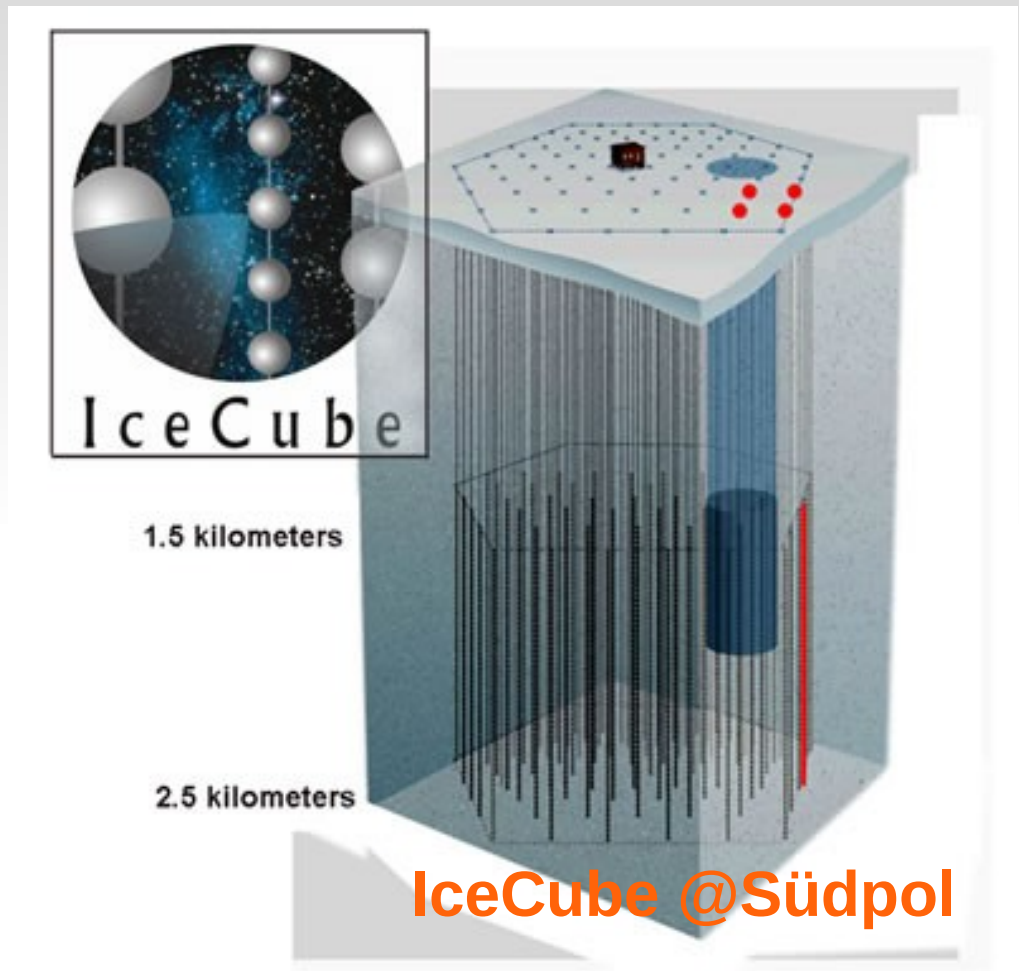
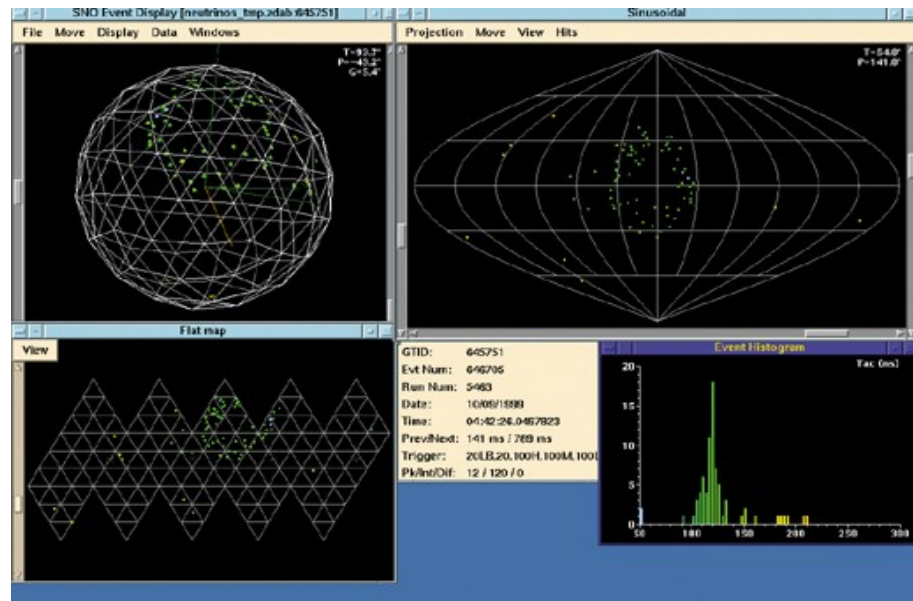
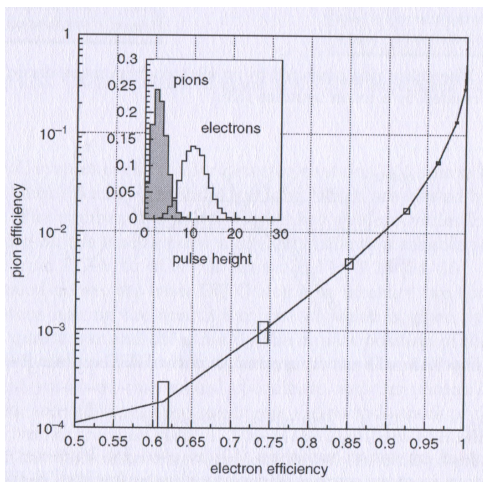
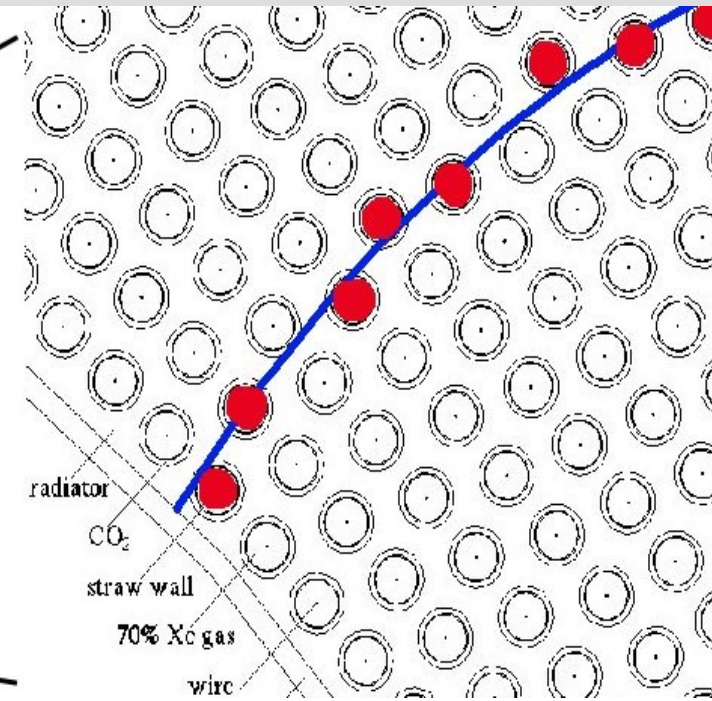
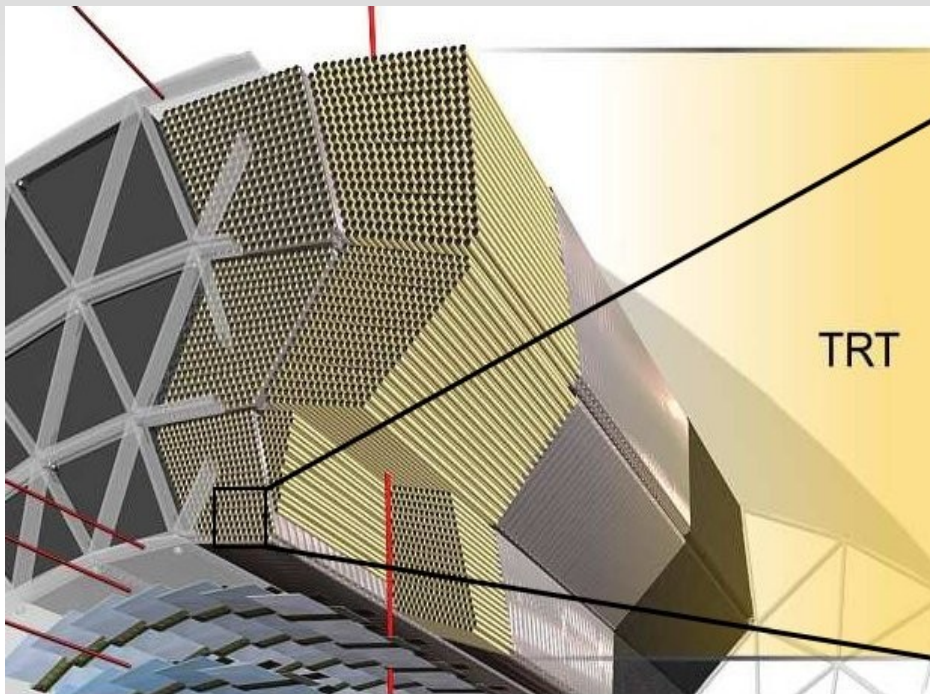


Fig 7.14 ATLAS-TRT



Bsp. für Radiator-Materialien

